

تحلیل ارتعاشات آزاد سه بعدی نانوورق مستطیلی بر اساس تئوری الاستیسیته غیر محلی

احسان عبداله زاده شهربابکی^۱، اکبر علی بیگلو^{۲*}

۱- دانشجو دکتری، مهندسی مکانیک، دانشگاه تربیت مدرس، تهران

۲- دانشیار، مهندسی مکانیک، دانشگاه تربیت مدرس، تهران

* تهران، صندوق پستی ۱۴۱۱۵-۱۴۳، ۱۴۱۱۵-۱۴۳

چکیده

در روش‌های متداول ریتز و گلرکین بر اساس تئوری الاستیسیته محلی، معمولاً از چند جمله‌ای به عنوان توابع تقریب استفاده می‌شود. اما این روش‌ها برای استفاده در تحلیل غیر محلی سه بعدی مناسب نیستند. در مطالعه حاضر برای غلبه بر این مشکل نوعی راهبرد باقی‌مانده وزنی، با توابع مثلثاتی به عنوان توابع تقریب، ارائه شده است. با انتخاب توابع تقریب مناسب تأثیر تکیه‌گاه‌های مختلف در رفتار فرکانسی نانو ورق بررسی شده است. اعتبار سنجی فرمول‌بندی حاضر از طریق مقایسه نتایج عددی حاصل با نتایج ارائه شده در مقالات انجام پذیرفته است. طبق نتایج عددی حاصل، رفتار فرکانسی نانو ورق قویاً متأثر از پارامتر غیر محلی بوده و این اثر در مودهای ارتعاشی بالا به دلیل کوچک بودن طول موج مود از اهمیت بالائی برخوردار است. نتایج این تحقیق نشان می‌دهد که تفاوت فاحشی بین رفتار جواب مدل سه بعدی نانو ورق و مدل دو بعدی آن وجود دارد و همچنین اختلاف پاسخ تحلیل دو و سه بعدی در این حد در الاستیسیته کلاسیک بارز نیست. همچنین تأثیرات نسبت طول به ضخامت، نسبت ابعادی، پارامتر غیر محلی، و شرایط مرزی مختلف بر فرکانس طبیعی پایه نانو ورق مورد مطالعه قرار گرفته است. این حل مرجع می‌تواند برای تخمین دقیق تئوریهای دو بعدی مرسوم مورد استفاده قرار گیرد.

اطلاعات مقاله

مقاله پژوهشی کامل

دریافت: ۲۹ تیر ۱۳۹۴

پذیرش: ۲۱ شهریور ۱۳۹۴

ارائه در سایت: ۱۱ مهر ۱۳۹۴

کلید واژگان:

سه بعدی

ارتعاشات

الاستیسیته غیر محلی

نانو ورق

Three-dimensional free vibration analysis of rectangular nanoplates based on nonlocal theory of elasticity

Ehsan Abdollahzadeh Shahrababaki, Akbar Alibeigloo*

Department of Mechanical Engineering, Tarbiat Modares University, Tehran, Iran.

* P.O.B. 14115-143 Tehran, Iran, abeigloo@modares.ac.ir

ARTICLE INFORMATION

Original Research Paper

Received 20 July 2015

Accepted 12 September 2015

Available Online 03 October 2015

Keywords:
Three-dimensional
Vibration
Nonlocal Elasticity
Nanoplate

ABSTRACT

Conventional Ritz and Galerkin methods based on local theory of elasticity employ polynomials as their approximating functions, however these methods are not convenient to use in three-dimensional nonlocal analysis. In the present study, to conquer this difficulty, a type of weighted residual approach with a set of trigonometric approximating functions was developed. By using appropriate trigonometric approximating functions it is possible to consider the effect of various edges boundary conditions on frequency behavior of nanoplate. Validation of present formulation is carried out by comparing numerical result with the published results. It is concluded that the effect of nonlocal parameter on natural frequencies is significant, especially in higher modes due to the lower wavelength of the mode. The research shows that in nonlocal elasticity there are distinct discrepancies between behaviors of two and three-dimensional results. In addition, the difference between the two- and three-dimensional results in local elasticity is not as noticeable as in nonlocal elasticity. Furthermore, the effects of length to thickness ratio, aspect ratio, nonlocal parameter and different boundary conditions on fundamental natural frequency of nanoplates were studied. This benchmark solution can be used to assess the accuracy of conventional two-dimensional theories.

انرژی، در مورد الاستیسیته غیر محلی نیاز به اصلاحات دارد تا در مقیاس نانو بکار برد شوند. در تحلیل سازه‌های نانو به دلیل پرهزینه بودن روش‌های تجربی و زمان بر بودن روش شبیه‌سازی دینامیک مولکولی، تحلیل گران به بررسی تحلیلی در شرایط مرزی و هندسه‌های ساده روی آورده‌اند. این تحلیل‌ها معمولاً به حالت‌های یک و یا دو بعدی محدود می‌شود. باید توجه داشت که تحلیل دو و سه بعدی الاستیسیته غیر محلی، بطور قابل ملاحظه‌ای

برای ارجاع به این مقاله از عبارت ذیل استفاده نمایید:
R. E. Abdollahzadeh Shahrababaki, A. Alibeigloo, Three-dimensional free vibration analysis of rectangular nanoplates based on nonlocal theory of elasticity, *Modares Mechanical Engineering*, Vol. 15, No. 11, pp. 54-62, 2015 (In Persian)

۱- مقدمه

ریشه‌های پیدایش الاستیسیته غیر محلی را می‌توان در سال ۱۹۶۷ جستجو کرد. این نوع الاستیسیته برای توصیف معادلات حاکم بر جسم الاستیک، هنگامی که در ابعاد نزدیک به شبکه مولکولی هستند بکار می‌رود و این اندازه ابعاد مرز تمايز تئوری‌های دینامیک شبکه و الاستیسیته معمولی است. روش‌های متداول حل در الاستیسیته معمولی از قبیل المان محدود، و روش

شد. بر اساس تئوری تغییر شکل برشی مرتبه اول، الزهاری و همکاران [22] تحلیل استاتیکی ورق تک لایه گرافن با تکیه‌گاه های ساده بر روی بستر وینکلر-پسترناک و تحت بارهای همزمان مکانیکی-حرارتی-رطوبتی را به انجام رساندند.

طبق بررسی‌های انجام شده مشخص شد که تحلیل ارتعاشات آزاد سه بعدی نانوورق مستطیلی با تکیه‌گاه‌های متفاوت تاکنون ارائه نشده است و این تحلیل در مقاله حاضر ارائه می‌شود. هدف این مقاله پیدا کردن فرکانس‌های طبیعی نانوورق با استفاده از نوعی روش باقی‌مانده وزنی برای گسترش تحلیل‌های الاستیسیته غیر محلی به سه بعد است. حل این مسئله تاکنون فقط برای تکیه‌گاه ساده انجام شده است که یکی از منابع صحت سنجی مقاله می‌باشد. در این تحقیق، ورق سه بعدی در نظر گرفته می‌شود و الاستیسیته خطی برای نوشتمن کرنش‌ها بر حسب جابجایی‌ها بکار برده می‌شود. غیر محلی بودن الاستیسیته فرض دیگری است که رابطه رفتاری را تعیین می‌کند. در بخش نتایج، تأثیر پارامتر غیر محلی، شرایط مرزی مختلف، و نسبت‌های ابعادی نانوورق بر فرکانس‌های طبیعی آن بررسی می‌شود. نتایج این پژوهش دید روشنی از تأثیر عدد موج بر فرکانس‌های طبیعی یک جامد با رفتار الاستیسیته غیر محلی بدست می‌دهد.

2- تئوری

2-1- الاستیسیته سه بعدی غیر محلی

بر اساس تئوری الاستیسیته غیر محلی، تنش غیر محلی، σ ، در هر نقطه در یک جامد تابع کرنش‌ها در تمام نقاط دیگر آن است و در این تئوری فقط معادله رفتاری با الاستیسیته کلاسیک متدال متفاوت است. در الاستیسیته غیر محلی جزء اضافی و متفاوت معادله رفتاری به شکل (1) است [23].

$$\sigma_{ij} = \int_V K(|\bar{x}-x|, \tau) t_{ij}(\bar{x}) d\bar{x} \quad (1)$$

که در آن σ_{ij} مؤلفه‌های تنسور تنش غیر محلی هستند. همچنین تابع هسته به شکل $K(|\bar{x}-x|, \tau)$ نماینده مدول غیر محلی است. $|\bar{x}-x|$ فاصله در نرم اقلیدوسی است و τ یک ثابت ماده تعريف شده که به طول‌های مشخصه داخلی و خارجی (به ترتیب مانند فواصل شبکه کریستالی و طول موج) بستگی دارد [23]. بعلاوه $t_{ij}(\bar{x})$ مؤلفه‌های تنسور تنش ماکروسکوپیک در نقطه‌ی با مختصات x برای ماده ایزوتروپیک بصورت رابطه (2) نوشته می‌شود [24]:

$$\begin{bmatrix} t_{xx} \\ t_{yy} \\ t_{zz} \\ t_{yz} \\ t_{xz} \\ t_{xy} \end{bmatrix} = \begin{bmatrix} \lambda + 2\mu & \lambda & \lambda & 0 & 0 & 0 \\ \lambda & \lambda + 2\mu & \lambda & 0 & 0 & 0 \\ \lambda & \lambda & \lambda + 2\mu & 0 & 0 & 0 \\ 0 & 0 & 0 & 2\mu & 0 & 0 \\ 0 & 0 & 0 & 0 & 2\mu & 0 \\ 0 & 0 & 0 & 0 & 0 & 2\mu \end{bmatrix} \begin{bmatrix} \epsilon_{xx} \\ \epsilon_{yy} \\ \epsilon_{zz} \\ \epsilon_{yz} \\ \epsilon_{xz} \\ \epsilon_{xy} \end{bmatrix} = [\mathcal{C}] \boldsymbol{\epsilon} \quad (2)$$

که در آن λ و μ به ترتیب ثوابت لامه و مدول برشی هستند و $[\mathcal{C}]$ ماتریس سفتی الاستیسیته است. همچنین ϵ_{ij} مؤلفه‌های تنسور کرنش هستند. مشابه الاستیسیته غیر محلی رابطه کرنش-جابجایی، در مختصات کارتزین به شکل رابطه (3) است [24].

نتایج متفاوتی دارد که این مسئله در این حد در الاستیسیته کلاسیک دیده نمی‌شود.

ارینگن در سال 1983 [1] یک فرم دیفرانسیلی برای معادله رفتاری جامد الاستیک بر اساس الاستیسیته غیر محلی ارائه نمود. پولیزتو [2] اثبات کرد که قانون حداقل انرژی پتانسیل، در مورد مسائل استاتیکی در الاستیسیته غیر محلی نیز قابل اعمال است. آقبابایی و ردی [3] ارتعاشات آزاد ورق با فرمول‌بندی درجات بالا با شرایط مرزی تکیه‌گاه ساده بر اساس تئوری الاستیسیته غیر محلی را بررسی کردند. پراوهان و فدیکار [4] یک تحلیل پارامتری برای رفتار ارتعاشی نانوورق کلاسیک و تغییر فرم برشی با شرایط مرزی تکیه‌گاه ساده انجام دادند. مورمو و پراوهان [5] روش جداسازی متغیرها را برای یافتن یک حل تحلیلی برای ارتعاشات درون صفحه ورق کرشهوف با دو تکیه‌گاه ساده و دو تکیه‌گاه دلخواه بکار برداشتند. پراوهان و مورمو [6] روش مربلات تفاضلی (DQ) دو بعدی را برای تحلیل کمانش ورق کرشهوف مستطیلی با تکیه‌گاه‌های ساده استفاده کردند. شن و همکاران [7] با تکنیک آشفتگی دو گامی ارتعاشات آزاد غیر خطی نانوورق کلاسیک با تکیه‌گاه ساده در محیط گرمایی را مطالعه کردند. بر اساس فرمول بندی حساب تغییرات، فدیکار و پراوهان [8] از طریق المان محدود، کمانش و خمش و ارتعاشات آزاد نانوی اولیر برنولی و نانوورق کرشهوف را بررسی نمودند. لازم به ذکر است که این مقاله نقطه عطفی در بکارگیری المان محدود در الاستیسیته غیر محلی بود. جمعه‌زاده و سعیدی [9] با غیر کوپل نمودن معادلات الاستیسیته غیر محلی سه بعدی، حل تحلیلی ارتعاشات آزاد سه بعدی نانوورق با تکیه‌گاه‌های ساده را ارائه کردند. پراوهان و کومار [10] ارتعاشات آزاد نانوورق کرشهوف ارتوتروپیک با شرایط مرزی مختلف (تکیه‌گاه ساده و گیردار) را با استفاده از روش عددی DQ دو بعدی مورد مطالعه قرار دادند. انصاری و همکاران [11] با استفاده از فرمول‌بندی رینسلر-میندلین به همراه روش DQ دو بعدی، به تحلیل ارتعاشات ورق گرافن چند لایه با شرایط مرزی مختلف (تکیه‌گاه ساده و گیردار) پرداختند. نارندر [12] مدل دو متغیره نانوورق با شرایط مرزی تکیه‌گاه ساده را در تحلیل کمانش مورد استفاده قرار داد. شوارتز و همکاران [13] بر اساس تئوری الاستیسیته غیر محلی و استفاده از روش المان مرزی رفتار خمشی سه بعدی نانوورق را بررسی کردند. علی بیگلو [14] حل ارتعاشات آزاد سه بعدی ورق چند لایه گرافن، قرار گرفته در محیط الاستیک، را ارائه نمود. علی بیگلو و پاشا زانوسی [15] تئوری الاستیسیته غیر محلی را برای مطالعه رفتار خمشی نانوورق سه بعدی با تکیه‌گاه ساده بکار گرفتند. آنها در راستای مختصات ضخامتی، تکنیک فضای حالت را استفاده کردند. فرج پور و همکاران [16] روش DQ را در بحث کمانش نانوورق کرشهوف ارتوتروپیک با تکیه‌گاه‌های ساده و گیردار اعمال کردند. آنها نانوورق را تحت تأثیر بار درون صفحه بصورت خطی متغیر فرض نمودند. قربانپور ارانی و همکاران [17] کنترل هوشمند کمانش ورق تک لایه گرافن با تکیه‌گاه ساده بر اساس مدل رینسلر-میندلین را بررسی نمودند. انصاری و همکاران [18] پتانسیل‌های بین اتمی را برای محاسبه ثوابت ماده یک ورق گرافن بکار گرفتند، و کمانش و ارتعاشات ورق کرشهوف با تکیه‌گاه ساده را با این ثوابت مطالعه کردند. بر اساس تئوری دو متغیره اصلاح شده، ملک زاده و شجاعی [19] با استفاده از روش DQ، ارتعاشات نانوورق با (با تکیه‌گاه ساده و گیردار) را بررسی کردند. خمش غیرخطی نانوورق دو لایه با تکیه‌گاه ساده تحت بار عمودی در محیط گرمایی توسط زو و همکاران [20] ارائه شد. تحلیل کمانش و حساسیت سنجی نانوورق ارتوتروپیک با شرایط مرزی تکیه‌گاه ساده توسط رادبه و ادلی [21] انجام

که در رابطه (8) ملاحظه می شود به طول موج ترم های میدان جابجایی ربط دارد. لازم به یاداوری است که استفاده از توابع تقریب مثلثاتی (اگرچه به همراه ترم های جبری) در راستای ضخامت بی سابقه نیست و این نوع مدل ورق، تئوری ورق سینوسی خوانده می شود [26,25].

2-3- فرمول بندی مسئله و حل آن

نانوورق مستطیلی بطول a ، عرض b ، و ضخامت h در دستگاه مختصات کارتزین مطابق شکل 1 فرض می شود. در روش باقیمانده وزنی در پژوهش حاضر، ابتدا طرفین سه معادله (6) در حالت نیروهای جسمی صفر به ترتیب حاضر، ابتدا طرفین سه معادله (6) در حالت نیروهای جسمی صفر به ترتیب در U و V و W ضرب می شود سپس معادلات حاصل با هم جمع می شود. نهایتاً یک معادله بدست می آید و از دو طرف آن در روی کل حجم ورق انتگرال گیری انجام می شود.

$$\frac{1}{2} \iiint_V t_{ij,j} u_i dV = \frac{1}{2} \iiint_V u_i (1 - \beta \nabla^2) (\rho \ddot{u}_i) dV \quad (9)$$

در قدم بعدی با اعمال انتگرال جز به جز به سمت چپ معادله انتگرالی حاصل، به روش کتاب الاستیسیته [24] که برای رسیدن از فرم نیوتونی به فرم انرژی استفاده شده است، انرژی پتانسیل کرنشی کل ورق بر اساس تنش محلی بعلاوه ترم شرایط مرزی بصورت رابطه (10) به دست می آید.

$$-\frac{1}{2} \iiint_V t_{ij} \epsilon_{ij} dV + \frac{1}{2} \iint_B u_i t_{ij} s_j ds = \frac{1}{2} \iiint_V u_i (1 - \beta \nabla^2) (\rho \ddot{u}_i) dV \quad (10)$$

که در آن $s_j = t_{jj}$ مؤلفه های نیروی کشنش محلی بر سطح مرز و t_{ij} کسینوس های هادی بردار عمود بر سطح مرز هستند. ترم شرط مرزی در معادله (10) در حالتی که تمام ترم های توابع تقریب بکار رفته، مثلثاتی باشد برای حالت های کشنش صفر (آزاد تئوری سه بعدی) یا جابجایی صفر (گیردار تئوری سه بعدی) از بین می رود (حالت نیروی معین شامل بحث فعلی نیست).

برای اثبات این مطلب ابتدا ذکر این نکته ضروریست که می توان ثابت کرد در حالتی که تمام ترم های توابع تقریب بکار رفته، مثلثاتی باشد، هر فرکانسی که $s_j = t_{jj}$ را صفر کند $t_{ij} = t_{ji}$ را نیز صفر می کند و بالعکس.

اثبات صفر بودن ترم شرط مرزی این است که اگر جابجایی صفر باشد مشخصاً ترم صفر می شود و در حالتی که تمام ترم های توابع تقریب بکار رفته، مثلثاتی باشد، اگر کشنش غیر محلی صفر باشد $(T_j = \sigma_{jj} s_j = 0)$ کشنش محلی نیز صفر می شود $(t_{ij} = 0)$ و به طبع آن ترم شرط مرزی صفر می شود. پس مادامی که قصد پیدا کردن بردارهای ویژه نباشد و فقط فرکانس طبیعی مد نظر باشد در آخرین مرحله حل، معادله (10) بدون ترم مرزی که صفر شده است، با در نظر داشتن کمیت های فیزیکی (11) بی بعد می شود.

$$\begin{aligned} X &= \frac{2x}{a}, Y = \frac{2y}{b}, Z = \frac{2z}{h}, U = \frac{u}{h}, V = \frac{v}{h}, W = \frac{w}{h}, \\ \epsilon_{ij}^* &= \frac{ab}{h^2} \epsilon_{ij}, \beta^* = \frac{\beta}{h^2} = e_0^2 \left(\frac{\bar{a}}{h} \right)^2 \end{aligned} \quad (11)$$

بی بعد شده سمت راست معادله (10) را می توان به صورت رابطه (12) نوشت.

$$\begin{aligned} \frac{1}{2} \iiint_V u_i (1 - \beta \nabla^2) (\rho \ddot{u}_i) dV &= \frac{\rho h^3 ab}{16} \times \\ &\int_{-1}^1 \int_{-1}^1 \int_{-1}^1 (U \left(1 - \beta^* \left(\left(\frac{2h}{a} \right)^2 \frac{\partial^2}{\partial X^2} + \left(\frac{2h}{b} \right)^2 \frac{\partial^2}{\partial Y^2} + 2^2 \frac{\partial^2}{\partial Z^2} \right) \right) \dot{U} + \end{aligned}$$

$$\begin{aligned} \epsilon_{xx} &= \frac{\partial u}{\partial x}, \epsilon_{yy} = \frac{\partial v}{\partial y}, \epsilon_{zz} = \frac{\partial w}{\partial z}, \epsilon_{yz} = \frac{1}{2} \left(\frac{\partial w}{\partial y} + \frac{\partial v}{\partial z} \right), \\ \epsilon_{xz} &= \frac{1}{2} \left(\frac{\partial u}{\partial z} + \frac{\partial w}{\partial x} \right), \epsilon_{xy} = \frac{1}{2} \left(\frac{\partial u}{\partial y} + \frac{\partial v}{\partial x} \right) \end{aligned} \quad (3)$$

بطوری که U و V و W به ترتیب مؤلفه های جابجایی در راستاهای X و Y و Z هستند. معادله حرکت برای تئوری های الاستیسیته غیر محلی و کلاسیک یکسان و به قرار (4) است.

$$\begin{aligned} \sigma_{xx,x} + \sigma_{xy,y} + \sigma_{xz,z} &= \rho \ddot{U} - F_x, \\ \sigma_{yx,x} + \sigma_{yy,y} + \sigma_{yz,z} &= \rho \ddot{V} - F_y, \\ \sigma_{zx,x} + \sigma_{zy,y} + \sigma_{zz,z} &= \rho \ddot{W} - F_z \end{aligned} \quad (4)$$

که در آن F_x و F_y و F_z به ترتیب مؤلفه های نیرو در راستاهای X و Y و Z هستند و ρ چگالی ماده است. همچنین نقطه بالای هر پارامتر به معنای مشتق نسبت به زمان است. ارینگن [1] نشان داد که رابطه (1)، معادل معادله دیفرانسیل بصورت (5) می باشد.

$$(1 - \beta \nabla^2) \sigma_{ij} = \Gamma(\sigma_{ij}) = t_{ij} \quad i, j = x, y, z \quad (5)$$

که $\nabla^2 = \partial^2 / \partial x^2 + \partial^2 / \partial y^2 + \partial^2 / \partial z^2$ عملگر لپلاس است و $\Gamma(\sigma_{ij}) = (\bar{a} e_0)^2$ پارامتر غیر محلی نام دارد. در آن \bar{a} طول مشخصه ای از ماده، مثلاً فواصل شبکه کریستالی، است [23]. نماد Γ را می توان عملگر غیر محلی نامید. با اعمال عملگر غیر محلی بر دو طرف روابط (4) و استفاده از رابطه (5) می توان روابط (6) را نوشت:

$$t_{xx,x} + t_{xy,y} + t_{xz,z} = (1 - \beta \nabla^2)(\rho \ddot{U} - F_x) \quad (6-الف)$$

$$t_{yx,x} + t_{yy,y} + t_{yz,z} = (1 - \beta \nabla^2)(\rho \ddot{V} - F_y) \quad (6-ب)$$

$$t_{zx,x} + t_{zy,y} + t_{zz,z} = (1 - \beta \nabla^2)(\rho \ddot{W} - F_z) \quad (6-ج)$$

در غیاب نیروهای جسمی جایگذاری روابط (2) و (3) در رابطه (6)، معادلات برداری حاکم بر حرکت بر حسب جابجایی ها در الاستیسیته سه بعدی غیر محلی برای ماده همسانگرد را به صورت (7) نتیجه می دهد.

$$\mu \nabla^2 \ddot{U} + (\lambda + \mu) \vec{\nabla}(\vec{\nabla} \cdot \vec{U}) = (1 - \beta \nabla^2)(\rho \ddot{U}) \quad (7)$$

که در آن $[u \ v \ w]^T = \vec{U}$ بردار میدان جابجایی است و بردار گرادیان بصورت $\left[\frac{\partial}{\partial x} \ \frac{\partial}{\partial y} \ \frac{\partial}{\partial z} \right]^T = \vec{\nabla}$ است.

2-2- توابع تقریب مثلثاتی

نظر به اینکه که عملگر غیر محلی در توابع مثلثاتی و نمایی مانند یک ضریب عمل می کند یعنی:

$$\begin{aligned} \Gamma(\sin(p_x x) \sin(p_y y) \sin(p_z z)) &= \\ (1 + \beta(p_x^2 + p_y^2 + p_z^2)) \sin(p_x x) \sin(p_y y) \sin(p_z z) \end{aligned} \quad (8-الف)$$

پس معکوس عملگر غیر محلی بر چنین توابعی بصورت زیر عمل خواهد کرد

$$\begin{aligned} \Gamma^{-1}(\sin(p_x x) \sin(p_y y) \sin(p_z z)) &= \\ (1 + \beta(p_x^2 + p_y^2 + p_z^2))^{-1} \sin(p_x x) \sin(p_y y) \sin(p_z z) \end{aligned} \quad (8-ب)$$

به طوری که دیده می شود، اگر میدان جابجایی با توابع مثلثاتی تقریب زده شود، می توان نتیجه گرفت که عملگر غیر محلی در روابط (7-5) ساده تر می شود و بصورت یک سری ضرایب جبری در می آید. این ضرایب همان طور

و $P_i(X_j)$ ترم‌های توابع تقریب هستند. با توجه به شرایط مرزی، سه مجموعه توابع، بصورت زیر بکار گرفته می‌شوند. لازم به تذکر است اولین انتخاب از هر فرمول برای حالت متقارن و دومین انتخاب برای حالت نامتقارن مود است.

الف. برای راستای ضخامت با توجه به اینکه در دو سطح بالا و پایین ورق شرط مرزی کشش صفر حاکم است لذا برای هر سه U و V و W می‌توان از رابطه (16) استفاده نمود.

$$P_k(Z) = \begin{cases} \cos\left(\frac{k\pi Z}{2}\right) \\ \sin\left((k+1)\frac{\pi}{2}Z\right) \end{cases} \quad k=0,1,2,\dots \quad (16)$$

ب. در شرایط مرزی دوسرگیردار در هر راستایی که باشد، برای هر سه U و V و W از رابطه (17) استفاده می‌شود.

$$P_i(X_j) = \begin{cases} \cos\left(\left(i+\frac{1}{2}\right)\pi X_j\right) \\ \sin\left((i+1)\pi X_j\right) \end{cases} \quad i=0,1,2,\dots \quad (17)$$

ج. در شرط مرزی تکیه‌گاه ساده سه بعدی، برای مثال اگر در راستای X باشد، برای V و W می‌توان رابطه (18-الف) را نوشت.

$$P_i^L(X) = \begin{cases} \cos\left(\left(i+\frac{1}{2}\right)\pi X\right) \\ \sin\left((i+1)\pi X\right) \end{cases} \quad i=0,1,2,\dots \quad (18)$$

و به همین ترتیب برای U از رابطه (18-ب) استفاده می‌شود.

$$P_i^A(X) = \begin{cases} \sin\left(\left(i+\frac{1}{2}\right)\pi X\right) \\ \cos\left((i+1)\pi X\right) \end{cases} \quad i=0,1,2,\dots \quad (18)$$

جایگذاری معادلات (15) تا (18) در معادلات (11) و (12) و (19) منجر می‌شود.

$$[K]\{A^*\} - \varpi^2 [\chi][M]\{A\}^* = 0 \quad (19)$$

که در آن $\varpi = \omega(ab/h)\sqrt{\rho/E}$ فرکانس طبیعی بی بعد نانوورق

است، در حالی که $\{A\}^*$ برداری از ضرایب مجهول A_{rst}^w و A_{lmq}^v و A_{ijk}^u است. $[M]$ و $[K]$ ماتریس‌های سفتی و جرم نانوورق هستند. بر اساس انرژی پتانسیل کرنشی محلی و جنبشی ورق، مؤلفه‌های این دو به شکل روابط (20) بدست می‌آیند.

$$K_{ij} = \frac{1}{2} \frac{\partial^2}{\partial A_i^* \partial A_j^*} \int_{-1-1-1}^{1 1 1} C_{ijklm}^* \epsilon_{km}^* \epsilon_{lj}^* dX dY dZ \quad (20)$$

$$M_{ij} = \frac{1}{2} \frac{\partial^2}{\partial A_i^* \partial A_j^*} \int_{-1-1-1}^{1 1 1} (U^2 + V^2 + W^2) dX dY dZ \quad (20)$$

چون تمام توابع تقریب، مثلثاتی هستند، لذا اعمال عملگر غیر محلی بر هر ترم، تنها به یک ضریب منجر می‌شود. $[\chi]$ ماتریس قطری از این ضرایب است که مؤلفه‌های قطر اصلی آن بصورت رابطه (21) معرفی می‌شود.

$$\chi_{ii} = 1 + \pi^2 \beta^* \left((n_i)^2 \left(\frac{h}{a} \right)^2 + (m_i)^2 \left(\frac{h}{b} \right)^2 + (k_i)^2 \right) \quad (21)$$

به طوری که $n_i/(2a)$ و $m_i/(2b)$ و $k_i/(2h)$ اعداد موج ترم / ام تابع تقریب، در سه راستای مختصات اصلی هستند. حل غیر صفر برای معادله (19) منجر به معادله جبری (22) می‌شود.

$$[K] - \varpi^2 [\chi][M] = 0 \quad (22)$$

$$V \left(1 - \beta^* \left(\left(\frac{2h}{a} \right)^2 \frac{\partial^2}{\partial X^2} + \left(\frac{2h}{b} \right)^2 \frac{\partial^2}{\partial Y^2} + 2^2 \frac{\partial^2}{\partial Z^2} \right) \right) V + \\ W \left(1 - \beta^* \left(\left(\frac{2h}{a} \right)^2 \frac{\partial^2}{\partial X^2} + \left(\frac{2h}{b} \right)^2 \frac{\partial^2}{\partial Y^2} + 2^2 \frac{\partial^2}{\partial Z^2} \right) \right) W dV \quad (12)$$

پارامتر غیر محلی بی بعد، $\beta^* = e_0^2 (\bar{a}/h)^2$ ، در رابطه بالا شامل نسبت طول مشخصه ماده به طول مشخصه (در اینجا ضخامت) نانوورق است. سمت چپ معادله (10) هم که انرژی کرنشی، بر اساس تنش محلی نانوورق است، برای ماده ارتوتروپیک در مختصات مادی بصورت بی بعد (13) می‌باشد.

$$\frac{1}{2} \iiint_V t_{ij} \epsilon_{ij} dV = \\ \frac{h^5 E}{16(ab)} \times \int_{-1-1-1}^{1 1 1} C_{11}^* (\epsilon_{xx}^*)^2 + C_{22}^* (\epsilon_{yy}^*)^2 + C_{33}^* (\epsilon_{zz}^*)^2 dV + \\ \frac{h^5 E}{16(ab)} \times \int_{-1-1-1}^{1 1 1} 4(C_{44}^* (\epsilon_{yz}^*)^2 + C_{55}^* (\epsilon_{xz}^*)^2 + C_{66}^* (\epsilon_{xy}^*)^2) dV + \\ \frac{h^5 E}{16(ab)} \times \int_{-1-1-1}^{1 1 1} 2[C_{12}^* (\epsilon_{xx}^* \epsilon_{yy}^*) + C_{13}^* (\epsilon_{xx}^* \epsilon_{zz}^*) + C_{23}^* (\epsilon_{yy}^* \epsilon_{zz}^*)] dV \quad (13)$$

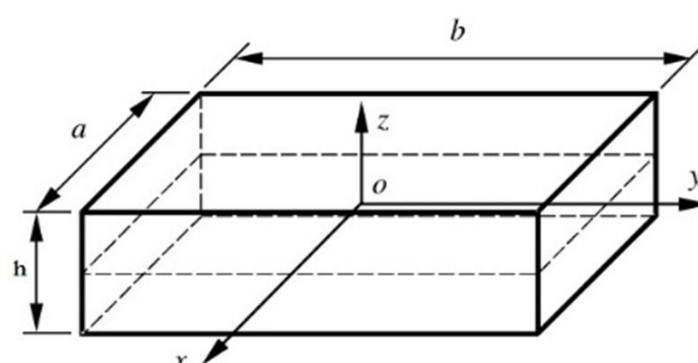
که در آن روابط (14) برقرارند.

$$\epsilon_{yy}^* = \frac{2a}{h} \frac{\partial V}{\partial Y}, \quad \epsilon_{zz}^* = \frac{2ab}{h^2} \frac{\partial W}{\partial Z}, \quad \epsilon_{xx}^* = \frac{2b}{h} \frac{\partial U}{\partial X} \\ \epsilon_{yz}^* = \frac{a}{h} \left(\frac{\partial W}{\partial Y} + \frac{b}{h} \frac{\partial V}{\partial Z} \right), \quad \epsilon_{xz}^* = \frac{b}{h} \left(\frac{a}{h} \frac{\partial U}{\partial Z} + \frac{\partial W}{\partial X} \right), \\ \epsilon_{xy}^* = \left(\frac{a}{h} \frac{\partial U}{\partial Y} + \frac{b}{h} \frac{\partial V}{\partial X} \right) \quad (14)$$

و $C_{ij}^* = C_{ij}/E$ ماتریس سفتی الاستیسیته بی بعد است. میدان جابجایی با مجموعه توابع تقریب مثلثاتی (15) جایگزین می‌شود

$$U = \sum_{k=0}^{n_z} \sum_{j=0}^{n_y} \sum_{l=0}^{n_x} A_{ijk}^u P_i(X) P_j(Y) P_k(Z) \exp(i\omega t), \\ V = \sum_{q=0}^{n_z} \sum_{m=0}^{n_y} \sum_{l=0}^{n_x} A_{lmq}^v P_i(X) P_m(Y) P_q(Z) \exp(i\omega t), \\ W = \sum_{t=0}^{n_z} \sum_{s=0}^{n_y} \sum_{r=0}^{n_x} A_{rst}^w P_r(X) P_s(Y) P_t(Z) \exp(i\omega t) \quad (15)$$

که در آن A_{rst}^w و A_{lmq}^v و A_{ijk}^u ضرایبی هستند که با حداقل یابی تعیین می‌شوند و ω فرکانس طبیعی نانوورق است. همچنین n_x و n_y و n_z تعداد ترمehای مجموعه توابع تقریب، به ترتیب در راستاهای x ، y و z



شکل ۱ هندسه و مختصات استفاده شده در تحلیل نانوورق

3- نتایج عددی و بحث

3-1- همگرایی

برای نشان دادن همگرایی پاسخ‌ها نتایج عددی 10 فرکانس طبیعی بی بعد اول در جدول 1 داده شده است. این نتایج برای مودهای متقارن متقارن نا متقارن (م م ن) به ترتیب در راستاهای x و y و Z است. همان‌طور که دیده می‌شود همگرایی کند بوده که از خصوصیات استفاده از توابع مثلثاتی به عنوان توابع تقریب است. گرچه بکارگیری این توابع تقریب یک نکته مثبت دارد و آن اینکه انتگرال‌گیری از ترم‌های آنها در روش‌های مختلف می‌تواند بصورت دستی انجام شود.

3-2- صهه گذاری فرمول‌بندی

برای صحت سنجی روش حاضر، نتایج عددی برای 10 فرکانس طبیعی بی بعد اول یک ورق مربعی بصورت $\omega = \sqrt{ab/h} \sqrt{\rho/E}$ با دو نسبت طول به ضخامت مختلف در جدول 2 داده شده است. تکیه‌گاه ورق چهار طرف گیردار فرض شده و ورق در ابعاد کوچک نیست. از مقایسه نتایج بدست آمده با نتایج مرجع [27] همخوانی خوبی بین پاسخ‌ها دیده می‌شود. در جدول 3 نتایج تحلیلی فرکانس پایه نانوورق با چهار تکیه‌گاه ساده آمده است. از مقایسه نتایج حاضر با نتایج مرجع [9] تطابق بسیار خوبی مشاهده می‌شود.

در انتهای چون برای نانوورق در تحلیل سه بعدی مرجعی جز برای تکیه‌گاه ساده موجود نیست صحت سنجی برای تکیه‌گاه‌های دیگر با قیاس نتایج عددی منبع [28] برای مدل دو بعدی ورق با نتایج سه بعدی مطالعه حاضر در جدول 4 انجام می‌شود. تفاوت‌ها بین دو سری جواب بهدلیل دو بعدی بودن تئوری ورق در منبع [28] است که با افزایش پارامتر غیر محلی بی بعد تفاوت افزایش می‌یابد.

3-3- مطالعات پارامتری

در این قسمت تأثیرات عواملی مانند پارامتر بی بعد غیر محلی، نسبت‌های ابعادی و طول به ضخامت، بر فرکانس طبیعی پایه بی بعد نانوورق در نمودارها مورد بررسی قرار می‌گیرد.

نمودار 2 فرکانس پایه بی بعد نانوورق مربعی با شرط مرزی چهار طرف گیردار بر حسب نسبت طول به ضخامت متفاوت را نشان می‌دهد. طبق شکل با افزایش نسبت طول به ضخامت این فرکانس به سمت عدد مشخصی که

جدول 1 همگرایی ده فرکانس طبیعی بی بعد اول $\omega = \sqrt{ab/h} \sqrt{\rho/E}$ ورق با شرط مرزی چهار طرف گیردار (دسته مود م م ن) با پارامترهای $a=b=10h$ و $v=0/3$

$8 \times 28 \times 28$	$8 \times 26 \times 26$	$8 \times 22 \times 22$	$8 \times 14 \times 14$	مود
9/9359	9/9395	9/9498	9/9984	1
31/394	31/403	31/430	31/565	2
31/693	31/703	31/731	31/871	3
48/008	48/021	48/055	48/230	4
62/526	62/542	62/589	62/842	5
62/684	62/701	62/749	63/007	6
74/990	75/006	75/052	75/296	7
75/472	75/490	75/540	75/805	8
97/686	97/706	97/762	98/063	9
97/779	97/801	97/872	98/289	10

جدول 2 مقایسه بین فرکانس طبیعی بی بعد اول $\omega = \sqrt{ab/h} \sqrt{\rho/E}$ نانوورق

مربعی با شرط مرزی چهار طرف تکیه‌گاه ساده برای دسته مود م م ن

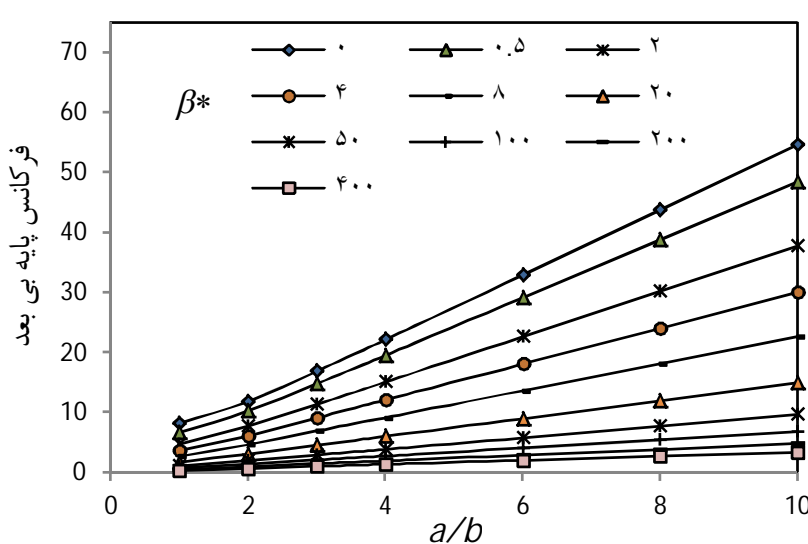
$\frac{a}{b}=2$	$\frac{a}{b}=1$	β^*	$\frac{h}{a}$
[9] σ	σ	[9] σ	σ
7/3098	7/3096	5/7769	5/7769
6/9026	6/9025	5/3036	5/3036
6/7536	6/7536	5/1260	5/1256
6/408	6/4079	4/7513	4/7512
6/308	6/3079	4/6550	4/6545
6/007	6/0069	4/3433	4/3433
5/9404	5/9402	4/2938	4/2933
5/6732	5/6731	4/0258	4/0257
5/6302	5/6301	4/0056	4/0049
5/3898	5/3896	3/7694	3/7693

جدول 3 مقایسه بین فرکانس طبیعی بی بعد اول $\omega = \sqrt{ab/h} \sqrt{\rho/E}$ نانوورق

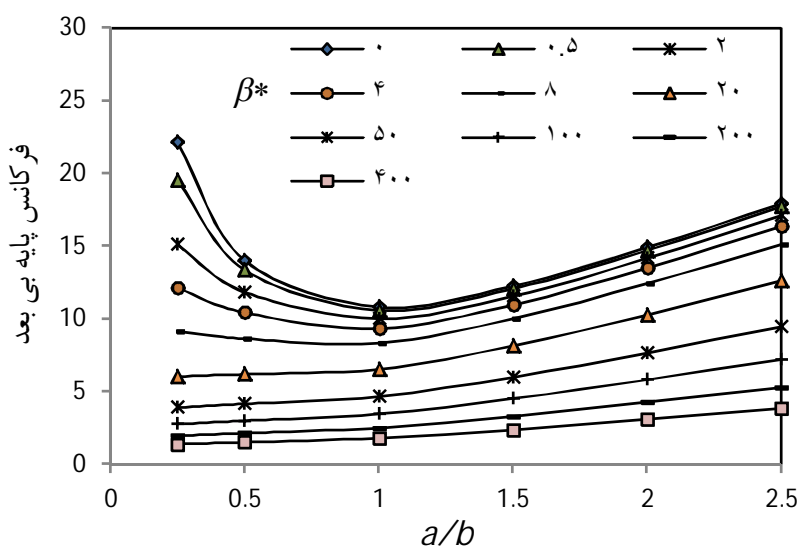
مربعی با شرط مرزی چهار طرف تکیه‌گاه ساده برای دسته مود م م ن

بیرون از صفحه مختلف با پارامترهای $a=b=10h$ و $v=0/3$

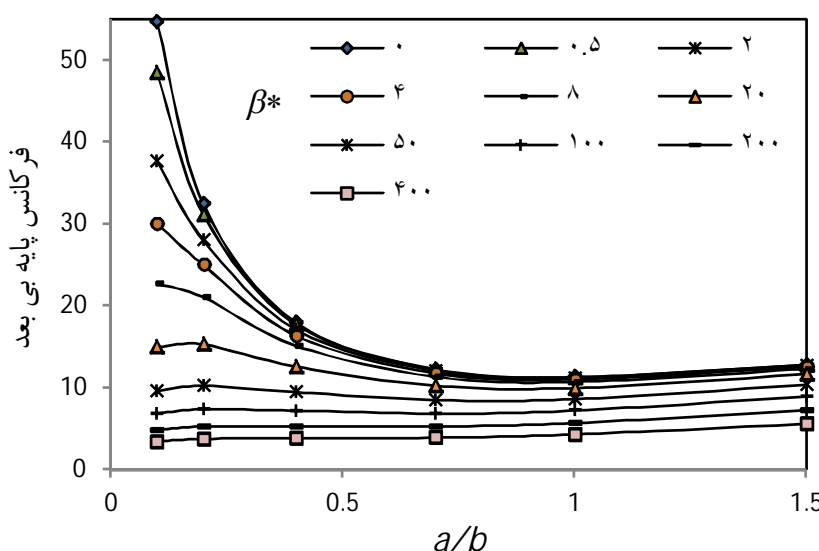
$[28] \sigma$	σ	β^*
79/195	49/260	26/736
37/776	28/236	19/568
20/725	16/256	12/622
14/080	11/177	8/9809
10/635	8/4777	6/9061



شکل 3 تأثیرات نسبت ابعادی بر اولین فرکانس طبیعی بی بعد نانوورق با چهار تکیه گاه گیردار برای پارامترهای غیر محلی بی بعد مختلف $\nu = 0/3$ و $b = 5h$



شکل 4 تأثیرات نسبت ابعادی بر اولین فرکانس طبیعی بی بعد نانوورق با چهار تکیه گاه گیردار برای پارامترهای غیر محلی بی بعد مختلف $\nu = 0/3$ و $b = 20h$



شکل 5 تأثیرات نسبت ابعادی بر اولین فرکانس طبیعی بی بعد نانوورق با چهار تکیه گاه گیردار برای پارامترهای غیر محلی بی بعد مختلف $\nu = 0/3$ و $b = 50h$

لازم به ذکر است در منابع [4] و [10] مقدار فاکتور کاهش فرکانس طبیعی در نمودارها بر حسب کوچک بودن ابعاد ورق می‌تواند تا 0/5 باشد که کاملاً با بازه کاهش فرکانس در اثر تغییر پارامتر غیر محلی نشان داده شده در جداول و نمودارهای مطالعه کنونی همخوانی دارد.

تابع ضریب غیر محلی می‌باشد، میل می‌کند که فرکانس نانوورق بر اساس تئوری کرهوف است. همان‌طور که در این پژوهش اثر پارامتر غیر محلی بصورت ماتریس ضرایب غیر محلی، [X]، از فرکانس می‌کاهد آقابابایی و ردی [3] نیز اثر پارامتر غیر محلی را در ورق دو بعدی غیر محلی با شرایط مرزی تکیه گاه ساده بصورت فاکتوری کاهنده یافتند. ضمیمه الف فرکانس نانوورق بر اساس تئوری کرهوف را برای تکیه گاه ساده ارائه می‌کند. در واقع تحقیق کنونی تعمیم این روند به سه بعد و تمام شرایط مرزی است.

همچنین در شکل 2 دیده می‌شود که برای پارامترهای غیر محلی بزرگ‌تر وابستگی فرکانس طبیعی به نسبت طول به ضخامت خطی می‌شود و نزدیک شدن پاسخ به عدد نهایی آن به تعویق می‌افتد.

تأثیر نسبت ابعادی بر فرکانس پایه بی بعد برای نانوورق‌های مستطیلی ضخیم، نسبتاً ضخیم و نازک در شکل‌های 3 تا 5 دیده می‌شود.

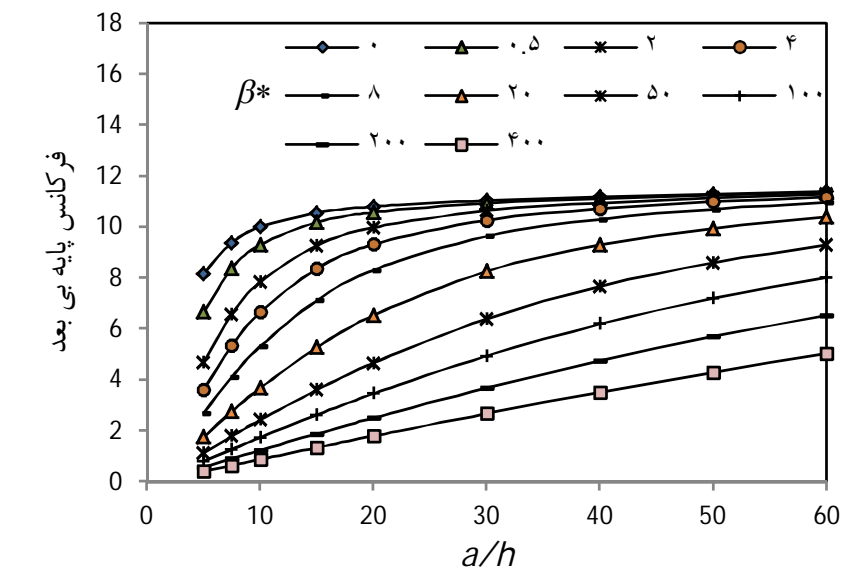
طبق شکل 3 با افزایش نسبت طول به عرض ورق ضخیم فرکانس پایه بصورت خطی روند افزایشی دارد. بعلاوه می‌توان نتیجه گرفت که با افزایش پارامتر غیر محلی، اثر افزایش نسبت طول به ضخامت در فرکانس پایه کاهش می‌یابد. همچنین دیده می‌شود که اثر پارامتر غیر محلی در ورق مربعی حداقل بوده و با باریک شدن ورق این اثر افزایش می‌یابد.

بر اساس شکل‌های 4 و 5 در ورق نسبتاً ضخیم و نازک با افزایش نسبت طول به عرض ورق فرکانس پایه در پارامترهای غیر محلی پائین ابتدا با شبیه تند کاهش یافته و سپس افزایش تدریجی دارد ولی در پارامترهای غیر محلی بالا همواره فرکانس پایه روند افزایشی تدریجی دارد.

فرمول به شکل بسته ضمیمه ب که برای حالت ساده موج در یک محیط بی نهایت در آمده از دید روند تغییرات کاملاً مشابه شکل‌های 4 و 5 دارد از رویت آن می‌توان تا حدی به عوامل تغییر دهنده و نقش آنها در این دو شکل پی برد.

تأثیر شرایط مرزی بر پنج فرکانس طبیعی اول نانو ورق‌ها در دسته مودهای مختلف در جداول 5 تا 7 آمده است. طبق جداول و همان‌طور که انتظار می‌رود بدون توجه به پارامتر غیر محلی، فرکانس طبیعی با افزایش قید افزایش می‌یابد. یعنی فرکانس نانوورق با چهار مرز گیردار بیشترین، و برای نانوورق با چهار تکیه گاه ساده کمترین می‌باشد. همچنین دیده می‌شود که فرکانس‌های تمام دسته مودها با افزایش پارامتر غیر محلی کاهش می‌یابد.

طبق جداول 5 تا 7 تأثیر پارامتر غیر محلی در مودهای بالاتر بیشتر است. به طوری که در مودهای بالا فرکانس‌ها تقریباً تابع پارامتر غیر محلی بوده و مستقل از عدد موج (شماره مود) می‌باشد.



شکل 2 تأثیر نسبت طول به ضخامت بر اولین فرکانس طبیعی بی بعد نانوورق مربعی با چهار تکیه گاه گیردار برای پارامترهای غیر محلی بی بعد مختلف $\nu = 0/3$

- تأثیر پارامترهای غیرمحلى بزرگ بر تأثیر شرط مرزی در فرکانس ورق غالب تر است.
- تأثیر پارامتر غیرمحلى در نانوورق مربعی کمترین مقدار بوده و با افزایش نسبت طول به عرض ورق این اثر افزایش می‌یابد.
- با افزایش نسبت طول به عرض ورق ضخیم، برخلاف ورق های نازک، فرکانس پایه بصورت خطی افزایش می‌یابد.

جدول 6 پنج فرکانس طبیعی بی بعد اول $\omega = \sqrt{\rho/E} (ab/h)$ نانوورق مربعی با شروط مرزی مختلف برای تمام دسته مودهای مختلف با پارامترهای $v = 0/3$ و $\beta = 1$

a=b=10h				شرط
ن ن ن	ن م ن	ن ن م	ن م م	مود مرزی
18/667	14/604	14/604	8/6905	1 برون
28/805	23/811	23/811	20/976	2 صفحه
29/267	27/264	27/264	21/344	3 چهار
34/905	31/718	31/718	27/580	4 طرف
37/949	33/873	33/873	32/525	5 گیردار
36/161	33/484	33/484	45/423	1 درون
43/207	44/105	44/105	51/664	2 صفحه
49/003	49/478	49/478	51/770	3 دوطرف
50/092	52/427	52/427	54/151	4 ساده
52/054	54/088	54/088	54/455	5 گیردار
17/018	14/006	11/634	7/1711	1 برون
26/725	21/583	22/970	17/827	2 صفحه
28/614	27/188	24/146	20/925	3 دوطرف
33/966	30/973	30/202	26/244	4 ساده
36/360	31/760	33/674	29/964	5 دوطرف
37/229	30/509	43/538	32/841	1 گیردار
48/568	42/351	51/055	43/415	2 درون
49/279	44/217	51/306	47/660	3 صفحه
53/053	49/481	54/163	52/171	4 ساده
54/132	50/958	54/820	53/530	5 چهار
15/075	10/778	10/778	5/1256	1 برون
26/186	20/549	20/549	17/464	2 صفحه
26/186	23/984	23/984	17/464	3 چهار
32/923	29/330	29/330	24/749	4 طرف
36/217	31/480	31/480	29/894	5 ساده
41/194	35/649	35/649	25/180	1 درون
50/525	46/491	46/491	41/039	2 صفحه
50/525	49/090	49/090	43/708	3 دوطرف
54/048	52/315	52/315	43/708	4 گیردار
55/396	53/388	53/388	49/607	5 ساده

جدول 5 پنج فرکانس طبیعی بی بعد اول $\omega = \sqrt{\rho/E} (ab/h)$ نانوورق مربعی با شروط مرزی مختلف برای تمام دسته مودهای با پارامترهای $v = 0/3$ و $\beta = 0/3$

شرط	نوع	مود	مرزی
ن ن ن	ن م ن	ن م م	
26/631	18/984	18/984	9/9395 1 برون
51/655	38/002	38/002	31/403 2 صفحه
52/131	46/349	46/349	31/703 3 چهار
72/106	60/686	60/686	48/021 4 طرف
84/019	67/474	67/474	62/542 5 گیردار
ن ن ن	ن م ن	ن م م	
44/415	37/412	37/412	61/646 1 درون
54/535	61/817	61/817	70/419 2 صفحه
79/666	74/801	74/801	76/429 3 دوطرف
81/775	90/004	90/004	91/613 4 ساده
91/637	99/185	99/185	105/05 5 گیردار
ن ن ن	ن م ن	ن م م	
24/080	18/116	14/948	8/1378 1 برون
47/627	34/227	36/442	26/448 2 صفحه
50/914	46/082	41/068	31/088 3 دوطرف
69/816	58/947	57/509	45/431 4 ساده
80/299	63/243	66/849	57/663 5 دوطرف
ن ن ن	ن م ن	ن م م	
46/270	34/408	59/000	36/656 1 درون
71/850	52/046	72/173	59/020 2 صفحه
81/055	62/895	89/459	73/713 3 چهار
88/768	79/844	90/753	74/983 4 طرف
101/26	87/185	107/38	97/974 5 ساده
ن ن ن	ن م ن	ن م م	
21/214	13/805	13/805	5/7769 1 برون
46/581	32/491	32/491	25/869 2 صفحه
46/581	40/749	40/749	25/869 3 دوطرف
67/527	55/724	55/724	42/725 4 گیردار
79/885	62/596	62/596	57/476 5 ساده
55/107	43/566	43/566	27/553 1 درون
87/132	70/248	70/248	46/502 2 صفحه
87/132	73/349	73/349	61/611 3 دوطرف
92/545	80/331	80/331	61/611 4 گیردار
110/21	97/416	97/416	82/660 5 ساده

4- جمع‌بندی

در این مقاله تحلیل ارتعاشات آزاد سه بعدی نانو ورق مستطیلی، بر اساس نوعی روش باقی‌مانده وزنی ارائه شده است. در این روش برخلاف شیوه‌های متداول از توابع تقریب مثلثاتی استفاده شد. حل سه بعدی حاضر می‌تواند برای تخمین دقیق حل‌های دو بعدی فرکانس‌های طبیعی نانوورق بکار گرفته شود. از نتایج عددی این تحقیق می‌توان به موارد زیر اشاره کرد.

- افزایش پارامتر غیرمحلى باعث کاهش اتصال صلب بین اتمها شده که نتیجتاً منجر به کاهش فرکانس طبیعی می‌شود.
- اثر پارامتر غیرمحلى در اندازه ابعادی کوچک اهمیت دارد.
- اثر پارامتر غیرمحلى در مودهای ارتعاشی بالا بیشتر است.

$$W = \sin(m\pi X)\sin(m\pi Y)\sin(\omega t)$$

پس فرکانس طبیعی ورق به صورت (الف - 3) می شود.

$$\omega = \omega \frac{ab}{h} \sqrt{\frac{\rho}{E}} = \frac{\pi \left(n^2 \left(\frac{b}{a} \right) + m^2 \left(\frac{a}{b} \right) \right)}{\sqrt{12(1-\nu^2) \left(\frac{1}{\pi^2} + \beta^* \left(n^2 \left(\frac{h}{a} \right)^2 + m^2 \left(\frac{h}{b} \right)^2 \right) \right)}} \quad (الف - 3)$$

ضمیمه ب - فرکانس یک موج سه بعدی در جامد بی نهایت غیر محلی

میدان جابجایی یک موج سه بعدی می تواند بگونه (ب - 1) باشد.

$$U = c_1 \cos(m\pi X)\sin(m\pi Y)\sin(k\pi Z)\sin(\omega t),$$

$$V = c_2 \sin(m\pi X)\cos(m\pi Y)\sin(k\pi Z)\sin(\omega t),$$

$$W = c_3 \sin(m\pi X)\sin(m\pi Y)\cos(k\pi Z)\sin(\omega t) \quad (ب - 1)$$

با جایگذاری رابطه بالا در معادله (7) و حل فرکانس طبیعی، روابط (ب - 2) و (ب - 3) به دست می آیند.

موج غیر چرخشی سه بعدی •

$$\omega_{nmk} = \omega_{nmk} \left(\frac{ab}{h} \right) \sqrt{\frac{\rho}{E}} =$$

$$\sqrt{\frac{\frac{1-\nu}{(1+\nu)(1-2\nu)} \left((n)^2 \left(\frac{b}{h} \right)^2 + (m)^2 \left(\frac{a}{h} \right)^2 + (k)^2 \left(\frac{a b}{h h} \right)^2 \right)}{\frac{1}{\pi^2} + \beta^* \left((n)^2 \left(\frac{h}{a} \right)^2 + (m)^2 \left(\frac{h}{b} \right)^2 + (k)^2 \right)}} \quad (ب - 2)$$

موج هم حجم سه بعدی •

$$\omega_{nmk} = \omega_{nmk} \left(\frac{ab}{h} \right) \sqrt{\frac{\rho}{E}} =$$

$$\sqrt{\frac{\frac{1}{2(1+\nu)} \left((n)^2 \left(\frac{b}{h} \right)^2 + (m)^2 \left(\frac{a}{h} \right)^2 + (k)^2 \left(\frac{a b}{h h} \right)^2 \right)}{\frac{1}{\pi^2} + \beta^* \left((n)^2 \left(\frac{h}{a} \right)^2 + (m)^2 \left(\frac{h}{b} \right)^2 + (k)^2 \right)}} \quad (ب - 3)$$

5- مراجع

- [1] A. Cemal Eringen, On differential equations of nonlocal elasticity and solutions of screw dislocation and surface waves, *Journal of applied physics*, Vol. 54, No 9, pp. 4703-4710, 1983.
- [2] C. Polizzotto, Nonlocal Elasticity and related Variational Principles, *International Journal of Solids and Structures*, Vol. 38, No. 42, pp. 7359-7380, 2001.
- [3] R. Aghababaei, J.N. Reddy, Nonlocal third-order shear deformation plate theory with application to bending and vibration of plates, *Journal of Sound and Vibration*, Vol. 326, No. 1, pp. 277-289, 2009.
- [4] S.C. Pradhan, J.N. Phadikar, Nonlocal elasticity theory for vibration of nanoplates, *Journal of Sound and Vibration*, Vol. 325, No. 1, pp. 206-223, 2009.
- [5] T. Murmu, S.C. Pradhan, Small-scale effect on the free in-plane vibration of nanoplates by nonlocal continuum model, *Physica E: Low-dimensional Systems and Nanostructures*, Vol. 41, No. 8, pp. 1628-1633, 2009.
- [6] S.C. Pradhan, T. Murmu, Small scale effect on the buckling of single-layered graphene sheets under biaxial compression via nonlocal continuum mechanics, *Computational materials science*, Vol. 47, No. 1, pp. 268-274, 2009.

جدول 7 پنج فرکانس طبیعی بی بعد اول $\omega = ab/h \sqrt{\rho/E}$ نانوورق مربعی با

$v = 0/3$ و $\beta = 10$ و شروط مرزی مختلف برای تمام دسته مودها با پارامترهای

شرط مرزی	نوع مود	$a=b=10h$
ن ن ن	ن ن ن	ن ن ن
7/8920	6/7219	6/7219
10/817	9/4014	9/4014
11/069	10/531	10/531
12/580	11/667	11/667
13/492	12/365	12/365
ن ن ن	ن ن ن	ن ن ن
17/962	18/547	18/547
18/601	18/600	18/600
18/663	18/661	18/661
18/663	18/662	18/662
18/720	18/718	18/718
ن ن ن	ن ن ن	ن ن ن
7/2636	6/4975	5/4586
10/067	8/5606	9/1172
10/811	10/518	9/2659
12/263	11/424	11/129
12/916	11/555	12/308
ن ن ن	ن ن ن	ن ن ن
18/108	17/335	18/108
19/064	18/733	19/064
19/066	19/000	19/066
19/267	19/168	19/267
19/350	19/244	19/350
ن ن ن	ن ن ن	ن ن ن
6/4737	5/0805	5/0805
9/8723	8/1670	8/1670
9/8723	9/2089	9/2089
11/889	10/815	10/815
12/870	11/458	11/458
ن ن ن	ن ن ن	ن ن ن
18/476	17/883	17/883
19/133	18/889	18/889
19/133	19/052	19/052
19/308	19/225	19/225
19/367	19/277	19/277

ضمیمه ب - فرکانس طبیعی نانوورق با تکیه گاههای ساده بر اساس الاستیسیته غیر محلی و تئوری کوشوف

می توان ثابت کرد که معادله حاکم در چنین ورقی بصورت (الف - 1) است.

$$\nabla^2 \nabla^2 W = \frac{12\rho(1-\nu^2)}{Eh^3} (1 - \beta \nabla^2) \ddot{W} \quad (الف - 1)$$

با بی بعد کردن معادله بالا، (الف - 2) به دست می آید.

$$4 \frac{1}{12(1-\nu^2)} \left(\frac{b^2}{h^2} \frac{\partial^2}{\partial X^2} + \frac{a^2}{h^2} \frac{\partial^2}{\partial Y^2} \right)^2 W =$$

$$\frac{a^2 b^2 \rho}{h^2 E} \left(1 - 4\beta^* \left(\frac{h^2}{a^2} \frac{\partial^2}{\partial X^2} + \frac{h^2}{b^2} \frac{\partial^2}{\partial Y^2} \right) \right) \ddot{W} \quad (الف - 2)$$

مود ارتعاشی چنین ورقی میدان خیزی بصورت زیر دارد:

- [17] A. Ghorbanpour Arani, R. Kolahchi, H. Vossough, Buckling analysis and smart control of SLGS using elastically coupled PVDF nanoplate based on the nonlocal Mindlin plate theory, *Physica B: Condensed Matter*, Vol. 407, No. 22, pp. 4458-4465, 2012.
- [18] R. Ansari, A. Shahabodini, H. Rouhi, Prediction of the biaxial buckling and vibration behavior of grapheme via a nonlocal atomistic-based plate theory, *Composite Structures*, Vol. 95, pp. 88-94, 2013.
- [19] P. Malekzadeh, M. Shojaaee, Free vibration of nanoplates based on a nonlocal two-variable refined plate theory, *Composite Structures*, Vol. 95, pp. 443-452, 2013.
- [20] Y-M. Xu, H-S. Shen, C-L.Zhang, Nonlocal plate model for nonlinear bending of bilayer graphene sheets subjected to transverse loads in thermal environments. *Composite Structures*, Vol. 98, pp. 294-302, 2013.
- [21] I.S. Radebe, S. Adali, Buckling and sensitivity analysis of nonlocal orthotropic nanoplates with uncertain material properties. *Composites Part B: Engineering*, Vol. 56, pp. 840-846, 2014.
- [22] E. Alzahrani, A.M. Zenkour, M. Sobhy, Small scale effect on hygro-thermo-mechanical bending of nanoplates embedded in an elastic medium, *Composite Structures*, Vol. 105, pp. 163-172, 2013.
- [23] J.N. Reddy, Nonlocal theories for bending, buckling and vibration of beams, *International Journal of Engineering Science*, Vol. 45, No. 2, pp. 288-307, 2007.
- [24] M.H. Sadd, *Elasticity: Theory, Applications, and Numerics*, 2nd Edition, pp. 69-122, Elsevier Academic Press, 2009.
- [25] M. Touratier, An efficient standard plate theory, *International journal of engineering science*, Vol. 29, No. 8, pp. 901-916, 1991.
- [26] A.M. Zenkour, Analytical solution for bending of cross-ply laminated plates under thermo-mechanical loading, *Composite Structures*, Vol. 65, No. 3, pp. 367-379, 2004.
- [27] D. Zhou, Y.K. Cheung, F.T.K Au, S.H. Lo, Three-dimensional vibration analysis of thick rectangular plates using Chebyshev polynomial and Ritz method, *International Journal of Solids and Structures*, Vol. 39, No. 26, 6339-6353, 2002.
- [28] S. Hosseini-Hashemi, M. Zare, R. Nazemnezhad, An exact analytical approach for free vibration of Mindlin rectangular nano-plates via nonlocal elasticity, *Composite Structures*, Vol. 100, pp. 290-299, 2013.
- [7] L. Shen, H-S. Shen, C-L. Zhang, Nonlocal plate model for nonlinear vibration of single layer graphene sheets in thermal environments, *Computational Materials Science*, Vol. 48, No. 3, pp. 680-685, 2010.
- [8] J.N. Phadikar, S.C. Pradhan, Variational formulation and finite element analysis for nonlocal elastic nanobeams and nanoplates, *Computational Materials Science*, Vol. 49, No. 3, pp. 492-499, 2010.
- [9] E. Jomehzadeh, A.R. Saidi, Decoupling the nonlocal elasticity equations for three dimensional vibration analysis of nano-plates, *Composite Structures*, Vol. 93, No. 2, pp. 1015-1020, 2011.
- [10] S.C. Pradhan, A. Kumar, Vibration analysis of orthotropic graphene sheets using nonlocal elasticity theory and differential quadrature method. *Composite Structures*, Vol. 93, No. 2, pp. 774-779, 2011.
- [11] R. Ansari, B. Arash, H. Rouhi, Vibration characteristics of embedded multi-layered graphene sheets with different boundary conditions via nonlocal elasticity, *Composite Structures*, Vol. 93, No. 9, pp. 2419-2429, 2011.
- [12] S. Narendra, Buckling analysis of micro-/nano-scale plates based on two-variable refined plate theory incorporating nonlocal scale effects, *Composite Structures*, Vol. 93, No. 12, pp. 3093-3103, 2011.
- [13] M. Schwartz, N.T. Niane, R. Kouitat Njiwa, A simple solution method to 3D integral nonlocal elasticity: Isotropic-BEM coupled with strong form local radial point interpolation, *Engineering Analysis with Boundary Elements*, Vol. 36, No. 4, pp. 606-612, 2012.
- [14] A. Alibeigloo, Three-dimensional free vibration analysis of multi-layered graphene sheets embedded in elastic matrix, *Journal of Vibration and Control*, Vol. 19, No. 16, pp. 2357-2371, 2013.
- [15] A. Alibeigloo, A.A. Pasha Zanoosi, Static analysis of rectangular nanoplate using three-dimensional theory of elasticity, *Applied Mathematical Modelling*, Vol. 37, No. 10, pp. 7016-7026, 2013.
- [16] A. Farajpour, A.R. Shahidi, M. Mohammadi, M. Mahzoon, Buckling of orthotropic micro/nanoscale plates under linearly varying in-plane load via nonlocal continuum mechanics. *Composite Structures*, Vol. 94, No. 5, pp. 1605-1615, 2012.